

КООРДИНАЦИОННЫЕ
СОЕДИНЕНИЯ

УДК 541.49:546.284'161-32:547-3

ВЛИЯНИЕ ВОДОРОДНЫХ СВЯЗЕЙ НА СВОЙСТВА
ГЕКСАФТОРОСИЛИКАТОВ С ГЕТЕРОЦИКЛИЧЕСКИМИ КАТИОНАМИ

© 2014 г. В. О. Гельмбольдт

Одесский национальный медицинский университет, Украина

E-mail: vgelmboldt@te.net.ua

Поступила в редакцию 20.09.2012 г.

Представлены в обобщенном виде известные данные, относящиеся к проявлениям влияния эффектов межионных водородных связей на свойства “ониевых” гексафторосиликатов с гетероциклическими катионами. Показано, что для солей указанного типа характеристики термической устойчивости и растворимости в воде коррелируют с числом сильных и средних H-связей или числом H-доноров в их структурах.

DOI: 10.7868/S0044457X1402007X

В последние десятилетия в фокусе интересов исследователей находятся различные аспекты координационной и супрамолекулярной химии анионов [1–3], что не в последнюю очередь обусловлено важной ролью анионов в биологических системах и технологических процессах. Специфика координационной химии анионов заключается в том, что, несмотря на потенциальную возможность реализации различных типов взаимодействий в системе катион–анион [4], структуры солей анионов с синтетическими рецепторами типа протонированных форм аминов формируются главным образом на основе межионных H-связей, а также электростатических кулоновских и ван-дер-ваальсовых взаимодействий [3]. Электростатические взаимодействия не отличаются направленностью, и поэтому основная структуроорганизующая роль в комплексах анионов принадлежит системам H-связей [3, 5]. Среди анионов наиболее сильным H-акцептором является фторид-ион, а в ряду комплексных фтороанионов *p*-элементов BF_4^- , PF_6^- и SiF_6^{2-} – гексафторосиликат-анион [6], что позволяет рассматривать “ониевые” гексафторосиликаты в качестве удобных моделей для выявления влияния эффектов межионных H-связей на структурные характеристики и свойства указанных солей [7, 8]. Последнее тем более актуально в связи с разнообразным прикладным использованием “ониевых” гексафторосиликатов и материалов на их основе [8]. Цель настоящего сообщения – обобщение известных данных, иллюстрирующих влияние межионных H-связей на свойства гексафторосиликатов с гетероциклическими катионами.

Термическая устойчивость. Представления о стабилизирующем вкладе эффектов H-связей не-

однократно использовались в литературе при обсуждении термических свойств “ониевых” гексафторосиликатов [8–12]. В частности, понижение термической устойчивости гексафторосиликатов в ряду соединений $(\text{RNH}_3)_2\text{SiF}_6 > (\text{R}_2\text{NH})_2\text{SiF}_6 > > (\text{R}_3\text{NH})_2\text{SiF}_6$ было связано с уменьшением стабилизирующего эффекта межионных H-связей типа $\text{NH}\cdots\text{F}$ вследствие уменьшения числа H-донорных центров в составе соответствующих алкиламмонийных катионов [9]. В свою очередь, неудача предпринятого авторами [11, 12] поиска кандидатов в ионные жидкости среди гексафторосиликатов 1-метил-3-пропилимидазолия, метиламмония, пиперидиния, 2,2,6,6-тетраметилпиперидиния, хинолиния (все указанные соли имеют высокие температуры плавления) получила свое объяснение в свете данных PCA, указывающих на стабилизацию структур комплексов контактами $\text{CH}\cdots\text{F}$ и H-связями $\text{NH}\cdots\text{F}$.

Как отмечено в [12], термическая устойчивость гексафторосиликатов карбоксилидиния $[n\text{-HO(O)CC}_5\text{H}_4\text{NH}]_2\text{SiF}_6$ ($n = 2, 3, 4$) несколько выше, чем солей $(\text{C}_5\text{H}_5\text{NH})_2\text{SiF}_6$ и $(n\text{-CH}_3\text{C}_5\text{H}_4\text{NH})_2\text{SiF}_6$ ($n = 2, 3, 4$) [13], несмотря на более высокие значения показателя основности pK_a пиридина и изомерных николинов. Высказано предположение [12], что относительная стабилизация солей карбоксилидиния по сравнению с соединениями $(\text{C}_5\text{H}_5\text{NH})_2\text{SiF}_6$ и $(n\text{-CH}_3\text{C}_5\text{H}_4\text{NH})_2\text{SiF}_6$ обеспечивается реализацией дополнительных межионных H-связей $\text{OH}\cdots\text{F}$ [12, 14, 15], отсутствующих в структурах солей пиридиния и николиния.

Очевидно, что в первом приближении термическая устойчивость комплекса, в качестве меры которой обычно используется температура начала термолиза (t_0), может быть связана с числом H-

Таблица 1. Температуры начала термолиза гексафторосиликатов пиридиния, значения параметра h и показатели основности соответствующих пиридинов

Соединение	$t_0, ^\circ\text{C}^*$	$h, \text{\AA}^{-1}$	$pK_{\text{a}}L$ [18, 19]	Литература
[2-CH ₃ C ₅ H ₄ NH] ₂ SiF ₆	140	0.71	5.96	[20]
[2,6-(CH ₃) ₂ C ₅ H ₃ NH] ₂ SiF ₆	130	0.72	6.47	[20]
[2-HO(O)CC ₅ H ₄ NH] ₂ SiF ₆	145	0.76	1.04	[14]
[3-HO(O)CC ₅ H ₄ NH] ₂ SiF ₆	175	1.09	2.05	[15]
[4-HO(O)CC ₅ H ₄ NH] ₂ SiF ₆	185	1.08	1.75	[12]
[4-H ₃ NHN(O)CC ₅ H ₄ NH] ₂ SiF ₆	185	1.80	1.82	[21]
[2-H ₂ NC ₅ H ₄ NH] ₂ SiF ₆	170	1.38	6.86	[17]
[2,6-(H ₂ N) ₂ C ₅ H ₃ NH] ₂ SiF ₆	230	2.35	6.48	[17]

* Данные [12, 13, 22].

связей в его структуре. Однако H-связи в кристаллических структурах комплексов могут существенно различаться по своим энергетическим характеристикам [6, 16] и включать так называемые “слабые” H-связи (расстояние донор–акцептор $>3.2 \text{ \AA}$), вкладом которых можно пренебречь. Поэтому более подходящим для целей сравнительной оценки влияния эффектов H-связей на физико-химические характеристики “ониевых” гексафторосиликатов представляется предложенный в работе [17] параметр h , учитывающий прочностные характеристики H-связей:

$$h = n/d(D \cdots A)_{\text{cp}}, \quad (1)$$

где n – число сильных и средних H-связей ($D \cdots A \leq 3.2 \text{ \AA}$, по классификации [16]), $d(D \cdots A)_{\text{cp}}$ – среднее расстояние донор–акцептор в структуре комплекса.

В табл. 1 приведены температуры начала термического разложения гексафторосиликатов пиридиния, значения параметра h и pK_{a} соответствующих пиридинов; взаимосвязь величин t_0 и h показана на рис. 1 [22]. Отметим, что представленные данные демонстрируют отсутствие ожидаемой

из общих соображений симбатной корреляции между величинами pK_{a} пиридинов и t_0 соответствующих гексафторосиликатов, обнаруженной, в частности, в ряду гексафторосиликатов *пара*-замещенных производных анилиния [23]. В то же время данные табл. 1 и рис. 1 демонстрируют отчетливую связь величин t_0 и h : рост значений h , отражающий увеличение эффекта межионных H-взаимодействий, сопровождается линейным возрастанием температур начала разложения гексафторосиликатов.

При отсутствии структурных данных в качестве варьируемой характеристики, позволяющей оценить взаимосвязь между эффектами H-связей и свойствами “ониевых” гексафторосиликатов, может быть использовано число потенциальных H-доноров (N_{H}) в составе катиона. Это вытекает из многочисленных данных РСА ([7, 8] и цитированные в них источники), указывающих на факт участия в H-связывании, как правило, всех или большинства из возможных H-доноров катиона. Использование чисел N_{H} в качестве меры эффекта H-связывания – достаточно грубое приближение, так как, в отличие от параметра h , при этом не учитывается прочность H-связей. По нашему мнению, такой учет опосредованно может быть осуществлен в форме параметра h' [24]:

$$h' = N_{\text{H}}/pK_{\text{a}}L, \quad (2)$$

где $pK_{\text{a}}L$ – константа основности лиганда L в составе соответствующего “ониевого” катиона. Отметим, что параметр h' в определенной степени сохраняет смысл h : значения n (число H-связей) и N_{H} изменяются симбатно, как и $d(D \cdots A)_{\text{cp}}$ и $pK_{\text{a}}L$ (рост $pK_{\text{a}}L$ сопровождается уменьшением H-донорной способности катионов, и, как следствие, увеличением расстояний $D \cdots A$).

В табл. 2 приведены температуры начала термического разложения гексафторосиликатов пиридиния, значения N_{H} и h' . Как следует из данных табл. 2 и рис. 2, демонстрирующих связь величин

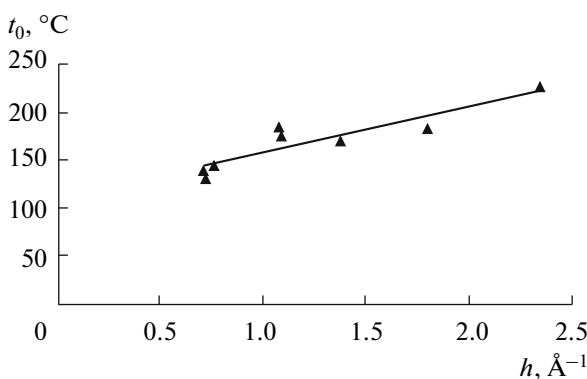


Рис. 1. Взаимосвязь температуры начала термолиза t_0 и параметра h .

Таблица 2. Температуры начала термолиза гексафторосиликатов пиридиния, значения N_H и h'

Соединение	$t_0, ^\circ\text{C}$	N_H	h'	Литература
[C ₅ H ₅ NH] ₂ SiF ₆	130	2	0.38	[13]
[2-CH ₃ C ₅ H ₄ NH] ₂ SiF ₆	140	2	0.34	[13]
[3-CH ₃ C ₅ H ₄ NH] ₂ SiF ₆	120	2	0.35	[13]
[4-CH ₃ C ₅ H ₄ NH] ₂ SiF ₆	120	2	0.33	[13]
[2,6-(CH ₃) ₂ C ₅ H ₃ NH] ₂ SiF ₆	130	2	0.30	[22]
[2-BrC ₅ H ₄ NH] ₂ SiF ₆	100	2	0.20	[13]
[2-HO(O)CC ₅ H ₄ NH] ₂ SiF ₆	145	4	0.75	[12]
[3-HO(O)CC ₅ H ₄ NH] ₂ SiF ₆	175	4	0.82	[12]
[4-HO(O)CC ₅ H ₄ NH] ₂ SiF ₆	185	4	0.83	[12]
[2-H ₂ NC ₅ H ₄ NH] ₂ SiF ₆	170	6	0.88	[13]
[2,6-(H ₂ N) ₂ C ₅ H ₃ NH] ₂ SiF ₆	230	10	1.54	[17]

t_0 и h' , последняя имеет линейный характер и аналогична рассмотренной выше корреляции между t_0 и h .

Растворимость в воде. Растворимость в воде, как и термическая устойчивость, относится к важнейшим макроскопическим свойствам вещества. Как известно, расчетные методы, например модель QSPR и родственные подходы [25–27], широко используемые для количественной оценки растворимости в воде органических соединений молекулярного строения, не применимы в случае ионных веществ, что делает актуальным поиск эмпирических взаимосвязей между строением и растворимостью “ониевых” гексафторосиликатов. Впервые влияние межионных H-связей на растворимость гексафторосиликатов было продемонстрировано на примере солей с замещенными пиридиниевыми катионами, содержащими H-донарные группы –COOH, –CONHNH₂, –CONH₂, –CSNH₂ [12]. Участие этих групп, наряду с фраг-

ментом $\geq N^+H$ катиона, в H-связывании с фторолигандами аниона SiF₆²⁻ доказано данными РСА [12, 14, 15, 17, 21]. Использование параметра h для анализа влияния эффектов H-связей на растворимость солей с гетероциклическими катионами (табл. 3, рис. 3) [17, 29] показало антибатный характер взаимосвязи значений растворимости C и h : увеличение величины h сопровождается экспоненциальным уменьшением растворимости соответствующих солей.

В табл. 4 приведены значения растворимости солей, величины N_H и h' ; связь величин C и h' иллюстрирует рис. 4 [24]. Как и в случае взаимосвязи величин C и h (рис. 3), увеличение h' приводит к ожидаемому уменьшению значений растворимости солей, причем соответствующие графические зависимости (рис. 3, 4) имеют аналогичный вид. Отметим, что данные по растворимости гексафторосиликатов с гетероциклическими катионами являются, с некоторыми оговорками, иллюстрацией

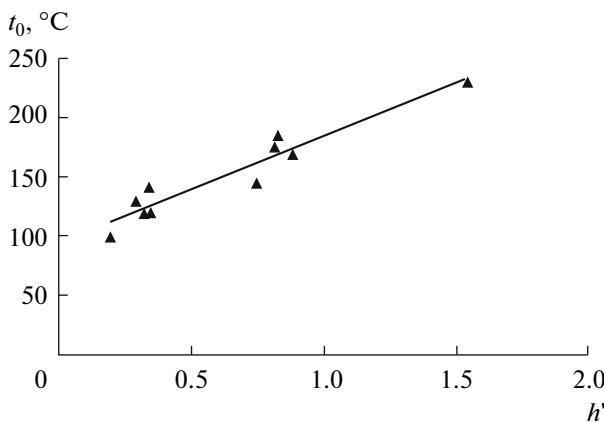
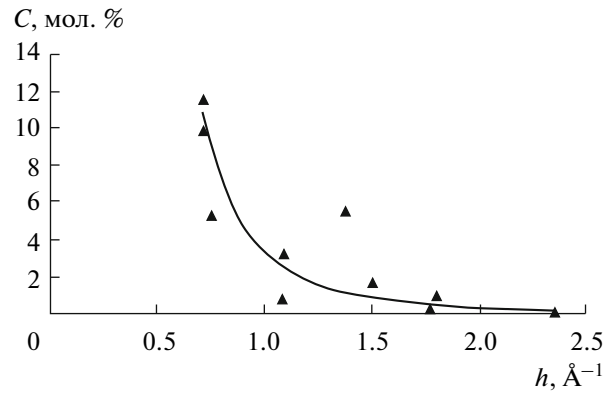
**Рис. 2.** Взаимосвязь температуры начала термолиза t_0 и параметра h' .**Рис. 3.** Взаимосвязь значений растворимости C и параметра h .

Таблица 3. Растворимость гексафторосиликатов гетероциклических катионов в воде и значения параметра h

Соединение	C , мол. %, 25°C*	h , Å ⁻¹	Литература
[2-CH ₃ C ₅ H ₄ NH] ₂ SiF ₆	11.60	0.71	[20]
[2,6-(CH ₃) ₂ C ₅ H ₃ NH] ₂ SiF ₆	9.90	0.72	[20]
[2-HO(O)CC ₅ H ₄ NH] ₂ SiF ₆	5.33	0.76	[14]
[3-HO(O)CC ₅ H ₄ NH] ₂ SiF ₆	3.33	1.09	[15]
[4-HO(O)CC ₅ H ₄ NH] ₂ SiF ₆	0.80	1.08	[12]
[2-H ₂ NC ₅ H ₄ NH] ₂ SiF ₆	5.60	1.38	[17]
[2,6-(H ₂ N) ₂ C ₅ H ₃ NH] ₂ SiF ₆	0.06	2.35	[17]
[4-H ₃ NHN(O)CC ₅ H ₄ NH]SiF ₆	0.87	1.80	[21]
[2-HO(O)CC ₉ H ₆ NH] ₂ SiF ₆ · 2H ₂ O	1.75	1.50	[14]
[C ₂ H ₆ N ₅] ₂ SiF ₆	0.28	1.78	[28]

*Данные [12, 17].

Примечание. [2-HO(O)CC₉H₆NH]⁺ – 2-карбоксихинолиний-катион, [C₂H₆N₅]⁺ – 3,5-диамино-1,2,4-триазолий-катион.

Таблица 4. Растворимость гексафторосиликатов гетероциклических катионов в воде и значения N_H и h'

Соединение	C , мол. %, 25°C	N_H	h'	Литература
[C ₅ H ₅ NH] ₂ SiF ₆	19.60	2	0.38	[12]
[2-CH ₃ C ₅ H ₄ NH] ₂ SiF ₆	11.60	2	0.34	[12]
[2,6-(CH ₃) ₂ C ₅ H ₃ NH] ₂ SiF ₆	9.90	2	0.30	[24]
[2,6-(HOCH ₂) ₂ C ₅ H ₃ NH] ₂ SiF ₆	2.52	4	0.84	[24]
[2-HO(O)CC ₅ H ₄ NH] ₂ SiF ₆	5.33	4	0.75	[12]
[3-HO(O)CC ₅ H ₄ NH] ₂ SiF ₆	3.33	4	0.82	[12]
[4-HO(O)CC ₅ H ₄ NH] ₂ SiF ₆	0.80	4	0.83	[12]
[БИАН] ₂ SiF ₆	1.53	4	0.74	[24]
[2-H ₂ NC ₅ H ₄ NH] ₂ SiF ₆	5.60	6	0.88	[17]
[3-H ₂ NC ₅ H ₄ NH] ₂ SiF ₆	1.86	6	0.99	[17]
[2-C ₂ H ₅ -4-H ₂ N(S)CC ₅ H ₃ NH] ₂ SiF ₆	0.10	6	1.34	[12]
[2,5-(HOOC) ₂ C ₅ H ₃ NH] ₂ SiF ₆	0.07	6	2.82	[17]
[2,6-(HOOC) ₂ C ₅ H ₃ NH] ₂ SiF ₆	0.02	6	2.41	[17]
[АБИАН] ₂ SiF ₆	0.23	8	1.11	[24]
[АМТДН] ₂ SiF ₆	0.01	8	1.15	[24]
[2,6-(H ₂ N) ₂ C ₅ H ₃ NH] ₂ SiF ₆	0.06	10	1.54	[17]
[C ₂ H ₆ N ₅] ₂ SiF ₆	0.28	12	2.71	[28]

Примечание. БИА – бензимидазол, АБИА – 2-аминобензимидазол, АМТД – 2-амино-5-меркапто-1,3,4-тиадиазол.

так называемого “правила 5” Липинского [30], которое предсказывает низкую растворимость соединений, в структуре которых число Н-доноров $N_H > 5$.

Можно заключить, что представленные результаты подтверждают справедливость высказанного в работе [7] предположения о возможности использования эффектов межионных Н-связей в качестве инструмента для направленного изменения физико-химических характеристик “ониевых” гексафторосиликатов. Выявленные

корреляции между характеристиками термической устойчивости и растворимости в воде “ониевых” солей с гетероциклическими катионами, с одной стороны, и числом сильных и средних Н-связей (или числом Н-доноров) в их структурах, с другой, позволяют осуществлять поиск соединений с определенными свойствами, которые задаются путем функционализации катиона заместителями с различными Н-донорными характеристиками. Объектами проведенного в настоящей работе анализа являются главным образом гек-

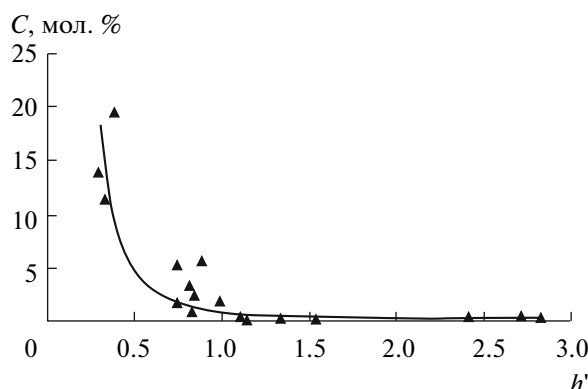


Рис. 4. Взаимосвязь значений растворимости C и параметра h' .

сафторосиликаты пиридиния — наиболее изученные в структурном и химическом плане представители гексафторосиликатов с гетероциклическими катионами. Однако вполне вероятно, что аналогичные корреляции структура—свойства будут обнаружены и в случае гексафторосиликатов других гетероциклических катионов, специфика строения которых предполагает доминирующее влияние эффектов H-связей на свойства солей [29].

СПИСОК ЛИТЕРАТУРЫ

- Lehn J.M. Supramolecular Chemistry. Weinheim: VCH, 1995.
- Bianchi A., Bowman-James K., Garcia-Espana E. (Eds.). Supramolecular Chemistry of Anions. N.Y.: Wiley-VCH, 1997.
- Bowman-James K. // Acc. Chem. Res. 2005. V. 38. № 8. P. 671.
- Desiraju G.R. // Angew. Chem. Int. Ed. 2007. V. 46. № 44. P. 8342.
- Custelcean R. // Chem. Soc. Rev. 2010. V. 39. № 10. P. 3675.
- Steiner T. // Angew. Chem. Int. Ed. 2002. V. 41. № 1. P. 48.
- Гельмболдт В.О. // Журн. неорган. химии. 2009. Т. 54. № 6. С. 981.
- Гельмболдт В.О. “Ониевые” фторосиликаты: структуры, свойства, применения. Одесса: Астрапринт, 2012. 160 с.
- Эннан А.А., Гаврилова Л.А., Чеботарев А.Н., Борисенко Т.С. // Журн. неорган. химии. 1977. Т. 22. № 5. С. 1263.
- Golovanov D.G., Lyssenko K.A., Antipin M.Yu. et al. // Cryst. Eng. Comm. 2005. V. 7. № 6. P. 53.
- Conley B.D., Yearwood B.C., Parkin S., Atwood D.A. // J. Fluor. Chem. 2002. V. 115. № 2. P. 155.
- Gelmboldt V.O., Koroeva L.V., Ganin Ed.V. et al. // J. Fluor. Chem. 2008. V. 129. № 7. P. 632.
- Петросян В.П., Эннан А.А. // Журн. неорган. химии. 1979. Т. 24. № 6. С. 1562.
- Gelmboldt V.O., Ganin E.V., Domasevitch K.V. // Acta Crystallogr. 2007. V. C63. P. o530.
- Гельмболдт В.О., Миначева Л.Х., Ганин Э.В., Сергиенко В.С. // Журн. неорган. химии. 2008. Т. 53. № 6. С. 947.
- Geffrey G.A. An introduction to hydrogen bonding. Oxford: Oxford Univ. Press, 1997.
- Gelmboldt V.O., Ganin Ed.V., Fonari M.S. et al. // J. Fluor. Chem. 2009. V. 130. № 4. P. 428.
- Альберт А., Сержент Е. Константы ионизации кислот и оснований. М.: Химия, 1964. 180 с.
- Borowiak-Resterna A., Szimanowski J., Voelkel A. // J. Radioanalyst. Nucl. Chem. 1996. V. 208. № 1. P. 75.
- Pavec A., Demšar A. // J. Fluor. Chem. 2008. V. 129. № 8. P. 707.
- Гельмболдт В.О., Даудов В.Н., Короева Л.В., Ганин Э.В. // Журн. неорган. химии. 2002. Т. 47. № 7. С. 1094.
- Гельмболдт В.О. // Вісник ОНУ. Сер. Хімія. 2009. Т. 14. № 3–4. С. 5.
- Эннан А.А., Борисенко Т.С., Березина Л.П., Никитин В.И. // Журн. неорган. химии. 1975. Т. 20. № 6. С. 1546.
- Гельмболдт В.О., Короева Л.В. // Одесский мед. журн. 2011. № 6. С. 11.
- Hua G., Veerabahu S., Pil L. // Pharm. Res. 2002. V. 19. P. 497.
- Butina D., Gola J.M.R. // J. Chem. Inf. Model. 2003. V. 43. P. 837.
- Delaney J.S. // Drug Discov. Today. 2005. V. 10. P. 289.
- Goreshnik E.A., Gelmboldt V.O., Koroeva L.V., Ganin E.V. // J. Fluor. Chem. 2011. V. 132. № 2. P. 138.
- Гельмболдт В.О. // Журн. неорган. химии. 2012. Т. 57. № 2. С. 334.
- Lipinski C.A., Lombardo F., Dominy B.W., Feeney P.J. // Adv. Drug Del. Rev. 2001. V. 46. P. 3.